



T.			U_f	I_f	U_a	U_g	I_a	S	R_f	μ	R_k	I_k	P_a	$U_{f/k}$
			V	A	V	V	mA	mA/V	k Ω	V/V	Ω	mA	W	V
ECC 31	Mul	1	6,3	0,95	250	-4,6	6	2,3	14	32		50	5	50
ECC 32	Mul	2	6,3	0,95	300		maximum							
13 D 3	Bri	3	6,3/12,6	0,6/0,3										
ECC 33	Mul	2	6,3	0,4	{ 250 300 }	-4	9	3,6	9,7	35		20	2,5	100
ECC 40	eur	4	6,3	0,6	{ 250 300 }		6	2,9	11	32	920	10	1,5	100
E 80 CC ¹⁾	eur	3	6,3/12,6	0,6/0,3	{ 250 300 }		6	2,7	10	27	920	12	2	120
6 H 1 II	CCCP	5	6,3	0,6	{ 250 300 }		8	3,2	11	35	600	25	2	250
6 H 5 II	CCCP	5	6,3	0,6	{ 200 200 }		8	3,5	7,7	27	600	25	2	250

Equivalents

AA 61	Maz = ECC 40
ECC 87	Sim = E 80 CC
6085	Phi = E 80 CC
6158 ²⁾	Bri = 13 D 3

ECC 40 Fig. 6

U_b	I_a	μ	U	h
V	mA	U/U_g	V	%
250	3	11,5	30	0,6
300	4,5	12	30	0,4

T.	$C_{g/k+f}$	pF	$C_{a/k+f}$	pF	$C_{g/a}$	pF	$C_{a/a}$	pF	$C_{g/f}$	pF	$C_{k/f}$	$C_{g/g}$	pF	$C_{a/g}$	pF	$C_{a/g}$	pF	
																		ECC 31
ECC 32	I-II triod.	4	1	3,7	0,8													
ECC 33	I-II triod.	4,3	2	4,3	0,75													
ECC 40	{ I triod. II triod.	3,5	1,2	2,5	0,8				0,1	0,1	3	0,1	0,1	0,1	0,1	0,1	0,1	vide * 6
E 80 CC	{ I triod. II triod. I triod. II triod.	2,8 2,6 2,4 2,4	1,1 0,7 0,45 0,55	2,7 2,8 3,6 3	0,8				0,23 0,23 0,23 0,23	0,13 0,13 0,13 0,13	4,8 4,8 4,8 4,8	0,013 0,013 0,013 0,013	0,1 0,1 0,1 0,1	0,1 0,1 0,1 0,1	0,1 0,1 0,1 0,1	0,1 0,1 0,1 0,1	0,1 0,1 0,1 0,1	vide * 5
6 H 1 II	I-II triod.	3,8	1,75	1,85	0,05													
6 H 5 II	{ I triod. II triod.	3 3	1,5 1,7	2,25 2,25	0,2													
13 D 3	I-II triod.	2,3	0,95	2,1	1													

¹⁾ vide * 4, a, b, c = 10000; $U_f = 6,3$ (12,6) V \pm 5%; U_g (max) = -200 V; I_g (max) = 0,3 mA; I_k (impulse \leq 2 msec) = 150 mA; I_g (imp) = 30 mA
²⁾ vide * 4, a, b, c, f, g

E 80 CC Fig. 1

U_b	V	R_a	R_g	R_k	I_a	μ	$U_{a\approx}$	h
		k Ω	k Ω	k Ω	mA	$U_{a\approx}/U_{g\approx}$	V	%
200	47	150	1,2	1,86	18,5	20	3,3	
250	47	150	1,2	2,45	18,5	30	3,8	
300	47	150	1,2	3,15	18,5	40	4,0	
350	47	150	1,2	3,8	18,5	50	4,1	
400	47	150	1,2	4,4	18,5	60	4,2	
200	100	330	2,2	1,0	20	22	3,1	
250	100	330	2,2	1,3	20	32	3,4	
300	100	330	2,2	1,65	20	42	3,5	
350	100	330	2,2	1,95	20	52	3,6	
400	100	330	2,2	2,3	20	63	3,7	
200	220	680	3,9	0,52	21	19	2,3	
250	220	680	3,9	0,67	21	29	2,6	
300	220	680	3,9	0,83	21	38	3,0	
350	220	680	3,9	0,99	21	47	3,1	
400	220	680	3,9	1,15	21	58	3,2	

ECC 33 Fig. 1

U_b	V	R_a	R_g	R_k	I_a	μ	$U_{a\approx}$	h
		k Ω	k Ω	k Ω	mA	$U_{a\approx}/U_{g\approx}$	V	%
200	47	150	1,2	2,0	24,5	30,5	5,3	
250	47	150	1,2	2,5	25	41	5,6	
300	47	150	1,2	3,0	25	50	5,6	
350	47	150	1,2	3,5	25	62,5	5,9	
400	47	150	1,2	4,0	25,5	74	6,1	
200	100	330	2,2	1,0	26,5	32	5,2	
250	100	330	2,2	1,3	27	43	5,4	
300	100	330	2,2	1,5	27	54,5	5,6	
350	100	330	2,2	1,8	27,5	66,5	5,6	
400	100	330	2,2	2,0	28	78,5	5,7	
200	220	680	3,9	0,5	27	30,5	4,8	
250	220	680	3,9	0,7	27,5	41	4,8	
300	220	680	3,9	0,8	28	51	5,0	
350	220	680	3,9	1	28	63	5,0	
400	220	680	3,9	1,1	28	74,5	5,1	

ECC 31 Fig. 1

U_b	V	R_a	R_g	R_k	I_a	μ	$U_{a\approx}$	h
		k Ω	k Ω	k Ω	mA	$U_{a\approx}/U_{g\approx}$	V	%
200	47	150	1,2	1,9	19,5	26	3,2	
250	47	150	1,2	2,4	19,5	37	3,4	
300	47	150	1,2	2,9	20	48	3,5	
350	47	150	1,2	3,4	20,5	57	3,6	
400	47	150	1,2	3,9	21	67	3,7	
200	100	330	2,2	1,0	24	32	2,4	
250	100	330	2,2	1,3	24,5	44	2,6	
300	100	330	2,2	1,6	24,5	54	2,8	
350	100	330	2,2	1,8	25	69	2,9	
400	100	330	2,2	2,1	25	81	3,0	
200	220	680	3,9	0,55	26,5	34	2,0	
250	220	680	3,9	0,7	27	45	2,1	
300	220	680	3,9	0,85	27	56	2,2	
350	220	680	3,9	0,95	27,5	68	2,2	
400	220	680	3,9	1,1	27,5	81	2,3	

ECC 40 Fig. 7

U_b	V	I_a	I_a^{II}	μ	U	h
		mA	mA	U/U_g	V	%
250	1,12	0,55	27	18	1	
350	1,57	0,78	27	30	1	

ECC 40 Fig. 2

U_b	V	R_a	R_g	I_a	μ	$U_{a\approx}$	h
		k Ω	k Ω	mA	$U_{a\approx}/U_{g\approx}$	V	%
250	100	330	1,4	24	30	2,2	
250	220	680	0,9	25	18	1,3	

ECC 40 Fig. 1

U_b	V	R_a	R_g	R_k	I_a	μ	$U_{a\approx}$	h
		k Ω	k Ω	k Ω	mA	$U_{a\approx}/U_{g\approx}$	V	%
100	220	0,68	4,7	0,3	23	10	1,8	
250	47	150	1,2	2,6	20	40	3,8	
200	100	0,33	2,2	1,1	24	33	3,6	
250	100	0,33	2,2	1,4	24	44	3,7	
300	100	0,33	2,2	1,6	24	54	3,8	
400	100	0,33	2,2	2,2	24	76	3,9	
200	220	0,68	3,9	0,58	24	32	3,5	
250	220	0,68	3,9	0,72	25	44	3,6	
300	220	0,68	3,9	0,87	25	53	3,7	
400	220	0,68	3,9	1,1	25	72	3,8	

ECC 40 Fig. 8

U_b	V	R	R_k	I_a	μ	U	h
		k Ω	k Ω	mA	U_d/U_g	V	%
250	3,9	1	3	26	30	1,5	
350	3,8	0,75	4,3	27,5	30	1,1	

ECC 40 Fig. 5

U_b	V	R	I_a	μ	$U_{a\approx}$	h
		k Ω	mA	$U_{a\approx}/U_{g\approx}$	V	%
250	100	2,5	740	30	1,9	
250	220	2,0	780	18	1,2	

